

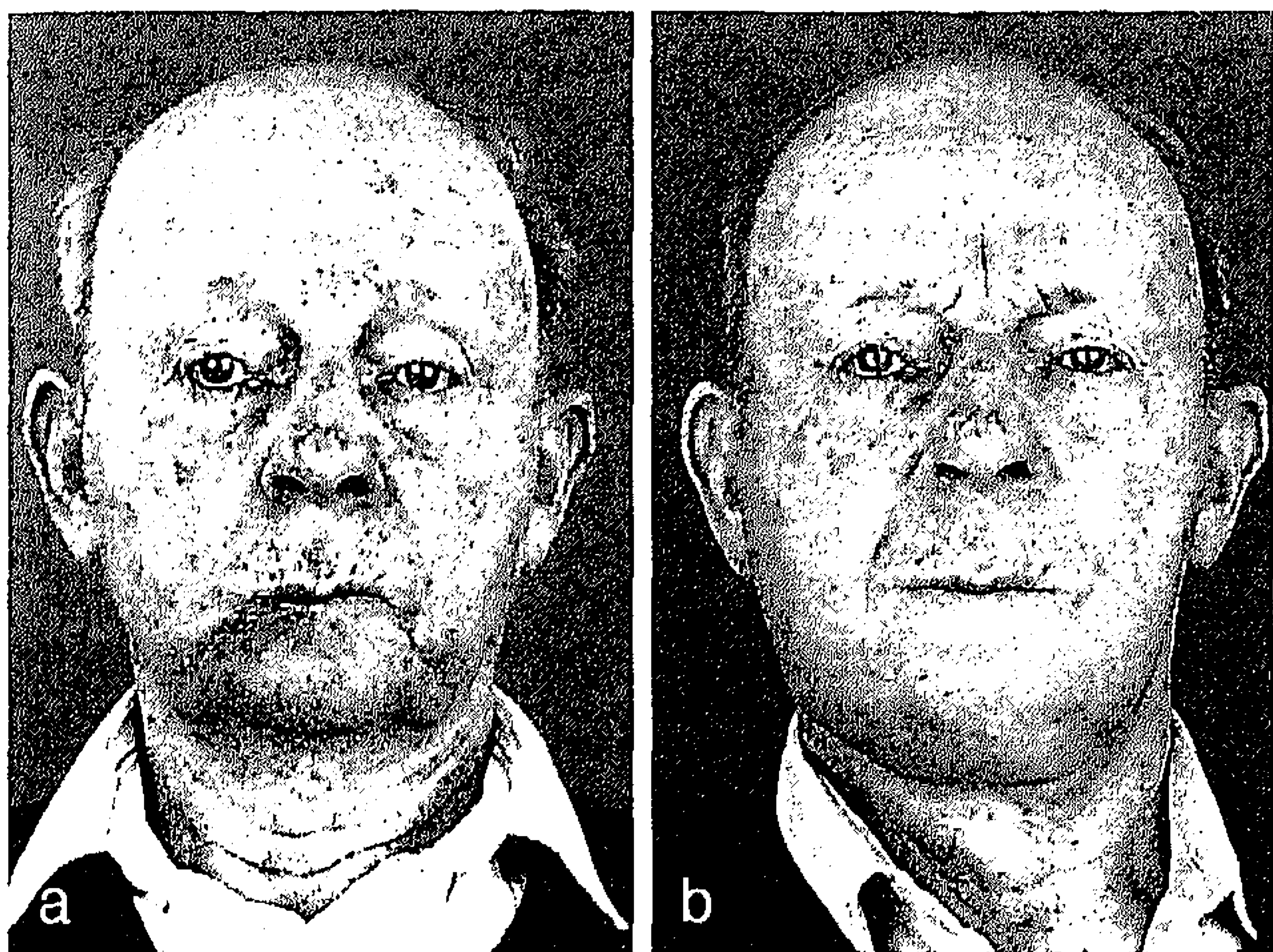
PDF hosted at the Radboud Repository of the Radboud University Nijmegen

The following full text is a publisher's version.

For additional information about this publication click this link.

<http://hdl.handle.net/2066/25974>

Please be advised that this information was generated on 2017-12-05 and may be subject to change.



Vooraanzicht van patiënt A: (a) bij opname: recidief-plaveiselcelcarcinoom van de onderlip rechts; (b) 7 maanden na een totale onderlip- en kinresectie met een halskliedissectie rechts, gevolgd door reconstructie met behulp van een vrij gevasculariseerde, gereïnnerveerde radialis-onderarmslap en een pees-transplantaat. (Figuren afgedrukt met schriftelijke toestemming van belanghebbende.)

G.J.Westerveld, J.J.Quak en C.R.Leemans (Amsterdam), *Functioneel herstel na een totale onderlipresectie met een gereïnnerveerde, vrij gevasculariseerde radialis-onderarmslap*

Doel. Beschrijving van de casus van patiënt A, een 75-jarige man die een onderlipreconstructie met behulp van een gereïnnerveerde, vrij gevasculariseerde radialis-onderarmslap met peestransplantaat onderging na een totale onderlip- en kinresectie wegens een recidief-plaveiselcelcarcinoom.

Patiënt en methode. Patiënt presenteerde zich met een tweede lokaal recidief van de onderlip rechts, waarvoor hij eerst radiotherapie en later operatieve behandeling had ondergaan. Er was sprake van ernstige functiebeperking van de mond (figuur). Het was noodzakelijk een totale onderlip- en kinresectie met een halskliedissectie rechts te verrichten. Onderlip en kin werden gereconstrueerd met behulp van een vrij gevasculariseerde, gereïnnerveerde radialis-onderarmslap en een pees-transplantaat afkomstig van de M. tensor fasciae latae. Hierbij werd de N. cutaneus antebrachii lateralis geanastomoseerd met de linker N. mentalis.

Resultaat. Er deden zich geen complicaties voor en ontslag volgde na 14 dagen. De resectie was radicaal. In verband met perineurale groei werd patiënt nabestraald. Er was sprake van een fraai functioneel en cosmetisch resultaat, hetgeen onder andere bleek uit een goede lipmotoriek, een goede mondsluiting en terugkeer van sensibiliteit (zie de figuur).

Conclusie. Bij totale onderlipresectie is reconstructie met behulp van een vrij gevasculariseerde, gereïnnerveerde radialis-onderarmslap met peestransplantaat een goede reconstructiemogelijkheid met een functioneel en cosmetisch uitstekend resultaat.

G.J.Westerveld, H.P.Voss, I.Dekker, D.H.Griffioen, A.Bast en R.A.Scheeren (Amsterdam), *Antioxidatieve eigenschappen van oxymetazoline en xylometazoline*

Doel. Bepalen van het belang van antioxidatieve farmacotherapie bij de behandeling van inflammatoire aandoeningen. Daar oxymetazoline en xylometazoline frequent worden ge-

bruikt bij de behandeling van bovenste-luchtweginfecties werden mogelijke antioxidatieve eigenschappen van beide stoffen onderzocht.

Materiaal en methode. Het in-vivo-effect van oxymetazoline en xylometazoline op lipideperoxidatie en hun capaciteit als 'scavengers' van hydroxylradicalen werden onderzocht met behulp van biochemische assays.

Resultaten. Oxymetazoline bleek een zeer krachtige remmer van de lipideperoxidatie (de concentratie oxymetazoline die 50% van het lipideperoxidatieproces remt (IC_{50}) = 4,9 μ M op $t = 15$ min, $IC_{50} = 8,1$ μ M op $t = 30$ min). Dit in tegenstelling tot xylometazoline, dat geen enkele remmende activiteit vertoonde. Beide stoffen bleken uitstekende scavengers van hydroxylradicalen. De hiervoor representatieve reactieconstanten (k_s) bedroegen $1,1 \times 10^{12}$ /M/s voor oxymetazoline en $4,7 \times 10^{10}$ /M/s voor xylometazoline, hetgeen betekent dat ze beide hoger waren dan de reactieconstante van een zeer krachtige scavenger als cimetidine ($k_s = 1,8 \times 10^{10}$ /M/s).

Conclusie. Oxymetazoline en in mindere mate xylometazoline hebben zeer goede antioxidatieve eigenschappen. Naast hun decongestieve werking op basis van adrenerge stimulatie, dragen deze eigenschappen mogelijk bij tot de werkzaamheid bij de lokale behandeling van bovenste-luchtweginfecties.

LITERATUUR

- Westerveld GJ, Scheeren RA, Dekker I, Griffioen DH, Voss HP, Bast A. Anti-oxidant actions of oxymetazoline and xylometazoline. Eur J Pharmacol 1995;291:27-31.

A.van Aarem (Nijmegen), *Het syndroom van de verwijde aqueductus vestibuli*

Het syndroom van de verwijde aqueductus vestibuli wordt geclassificeerd als een separate klinische entiteit met een stapsgewijze progressieve perceptieve slechthorendheid samengaan met een (geïsoleerde) verwijde aqueductus vestibuli.

Er werd een illustratieve casus gepresenteerd. Deze betrof een jongetje met een voorgeschiedenis van unilaterale doofheid wiens gehoor aan de andere zijde ernstig verslechterde ten gevolge van een onbeduidend hoofdtrauma. Een CT-scan van het pars petrosa ossis temporalis liet bilateraal een vergrote aqueductus vestibuli zien.

Herkenning van dit syndroom is belangrijk vanuit een prognostisch oogpunt; er kunnen dan plannen gemaakt worden in geval van te verwachten progressie van het gehoorverlies. Bij bilaterale doofheid kan een cochleair implantaat een mogelijkheid zijn, zoals ook het geval was bij de gepresenteerde casus. Er is tot nu toe geen behandeling bekend om de progressie van het gehoorverlies te voorkomen. Wel wordt aangeraden hoofdtrauma (contactsporten) te vermijden.

C.P.L.Geelen, K.Ingels en J.P.van Leeuwen (Nijmegen), *Enkelzijdige N.-abducensparese bij polyposis nasi*

Bij een 61-jarige patiënt met polyposis nasi ontwikkelde zich een enkelzijdige N.-abducensparese. CT en MRI van het cerebrum met MR-angiografie lieten geen aanwijzingen zien voor een sinus-cavernosustrombose. Wel bleek er beiderzijds een totale sluiting van de sinus ethmoidalis, sphenoidalis en frontalis te bestaan. Een CT-scan van de neusbijholten bevestigde de aanwezigheid van weke delen in alle sinussen zonder ossale destructie. Op geleide van de kweek (er werden hemolytische streptokokken gevonden) werd patiënt behandeld – zonder resultaat. Na endonasale chirurgie en behandeling met prednison werden de oogbewegingen normaal; patiënt had geen